

クノイド波理論の二・三の特性と、適用限界について

正員 佐伯 浩*
 正員 泉 刃**
 学生員 ○新井 泰澄***

§1. 緒論

Korteweg-de Vries によって、最初に発見された、クノイド波理論は、その後、Keulegan, Benjamin, Laitone, Chappellear, Masch 等により研究されてきた。クノイド波理論には、第1種・第2種の完全だ円積分である \mathbf{K} , \mathbf{E} が入っているため、その理論が非常に難解なものと思われ、あまり実用的なものではなかった様に思われる。

クノイド波理論は、ストークス波理論が適用される領域よりも、より浅い領域で使われるべく、たてられた理論であるが、今だ、その理論の適用限界については、2, 3の研究があるのみで、その適用限界は判然としていない。

本研究では、Laitone が導びいた、クノイド波の第1次・第2次近似理論を用いて、波速・波頂高の特性及び実験値との比較を行ない、さらに第1・第2次近似理論の相異点を調べ、その適用限界について述べたものである。

又、だ円積分の母数 k と、第1種・第2種完全だ円積分値 \mathbf{K} , \mathbf{E} との関係は、 k が小さい場合に対しては、林桂一, Jahnke-Emde, Kaplan 等により計算されている。 $k \rightarrow 1$ の時の \mathbf{K} , \mathbf{E} の値は、ある程度まで、Wiegel-Masch により計算されているので、我々は、Wiegel-Masch により計算された \mathbf{K} , \mathbf{E} の値を使った。

§2. クノイド波理論

前にも述べたように、本研究では Laitone の第1・第2近似のクノイド波理論を用いるが、この Laitone の理論においては、計算の便利さから記号を Fig. 1 の如くとっている。

Laitone の理論は平均水深 d を用いないで、波の谷からの深さ h , 平均水面と谷の距離 δ , 谷から水面までの距離 η_* で全て表わされているので、この Laitone の式を η , d , L を用いて表わすと以下の如くなる。Suffix 1 は第1次近似理論、2 は第2次近似理論を表わす。

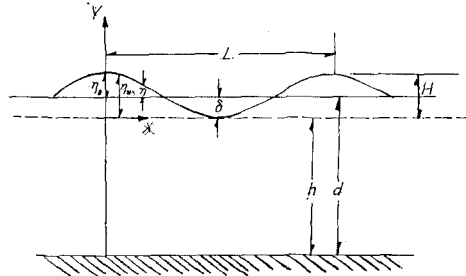


Fig. 1. Coordinate system

$$\delta_1 = H \cdot K_1 \quad (1)$$

$$\delta_2 = \frac{1}{2} \left\{ (H \cdot K_1 + d) - \sqrt{(H \cdot K_1 + d)^2 - 4(d \cdot H \cdot K_1 + H^2 \cdot K_2)} \right\} \quad (2)$$

$$h_1 = d - K_1 \cdot H \quad (3)$$

$$h_2 = \frac{1}{2} \left\{ (d - H \cdot K_1) + \sqrt{(d - H \cdot K_1)^2 - 4H^2 \cdot K_2} \right\} \quad (4)$$

$$K_1 = \frac{1}{k^2} \left(\frac{E}{K} + k^2 - 1 \right)$$

$$K_2 = \frac{1}{12k^4} \left\{ 8 - 11k^2 + 3k^4 - (8 - 7k^2) \frac{E}{K} \right\}$$

k : Jacobi の楕円関数の母数

K : 第1種完全楕円積分

$$K = \int_0^{\pi/2} (1 - k^2 \sin^2 \varphi)^{-1/2} d\varphi$$

E : 第2種完全楕円積分

$$E = \int_0^{\pi/2} (1 - k^2 \sin^2 \varphi)^{1/2} d\varphi$$

(1) 波形

$$\eta_1 = H \left\{ cn^2 \left(2K \cdot \frac{x}{L}, k \right) - K_1 \right\} \quad (5)$$

$$\eta_2 = H \cdot cn^2 \left(2K \cdot \frac{x}{L}, k \right) - \frac{3}{2} H^2$$

* 北海道大学工学部土木工学科 助教授

** 北海道大学工学部土木工学科 助手

*** 北海道大学工学部大学院

$$\begin{aligned} & \times \frac{cn^2\left(2K \cdot \frac{x}{L}, k\right) \left\{1 - cn^2\left(2K \cdot \frac{x}{L}, k\right)\right\}}{(d - HK_1) + \sqrt{(d - HK_1)^2 - 4H^2 K_2}} \\ & - \frac{1}{2} \left\{ (HK_1 + d) - \sqrt{(HK_1 + d)^2 - 4(dHK_1 + H^2 K_2)} \right\} \end{aligned} \quad (6)$$

(2) 波 長

$$L_1 = \frac{4kK(d - HK_1)^{3/2}}{(3H)^{1/2}} \cdot \left\{ 1 + K_3 \cdot \frac{H}{d - HK_1} \right\} \quad (7)$$

$$\begin{aligned} L_2 &= \frac{4kK}{(3H)^{1/2}} \left[\frac{1}{2} \left\{ (d - HK_1) \right. \right. \\ &\quad \left. \left. + \sqrt{(d - HK_1)^2 - 4H^2 K_2} \right\} \right]^{3/2} \\ &\times \left[1 - K_4 \cdot \frac{2H}{\{ (d - HK_1) + \sqrt{(d - HK_1)^2 - 4H^2 K_2} \}} \right]^{-1} \end{aligned} \quad (8)$$

$$K_3 = \frac{3}{2} \left(\frac{2k^2 - 1}{k^2} \right)$$

$$K_4 = \frac{7k^2 - 2}{8k^2}$$

(3) 波 速

$$\frac{c_1}{\sqrt{gd}} = \sqrt{1 - K_1 \frac{H}{d}} + \frac{H}{\sqrt{d(d - HK_1)}} \cdot K_5 \quad (9)$$

$$\begin{aligned} \frac{c_2}{\sqrt{gd}} &= \frac{c_1}{\sqrt{gd}} \\ &+ \frac{H^2 \cdot K_6}{d^{1/2} \left[\frac{1}{2} \left\{ (d - HK_1) + \sqrt{(d - HK_1)^2 - 4H^2 K_2} \right\} \right]^{3/2}} \end{aligned} \quad (9')$$

$$\frac{c_2}{\sqrt{gd}} = \sqrt{1 - K_1 \frac{H}{d}} + \frac{H}{\sqrt{d(d - HK_1)}} \cdot K_5 +$$

$$\times \frac{H^2}{d^{1/2} \left[\frac{1}{2} \left\{ (d - HK_1) + \sqrt{(d - HK_1)^2 - 4H^2 K_2} \right\} \right]^{3/2}} \cdot K_6 \quad (10)$$

$$K_5 = \frac{1}{k^2} \left(\frac{1}{2} - \frac{E}{K} \right)$$

$$K_6 = \frac{1}{k^4} \left\{ \frac{E}{K} \left(\frac{E}{K} + \frac{3}{4} k^2 - 1 \right) - \left(\frac{k^4 + 14k^2 - 9}{40} \right) \right\}$$

§ 3. クノイド波の波速について

第1次近似理論波速の式は(9)式に示されている。この式を変形すると次の(11)式が得られる。

$$\frac{c_1}{\sqrt{gd}} = \sqrt{1 - K_1 \frac{H}{d}} + \frac{H/d}{\sqrt{1 - K_1 \frac{H}{d}}} \cdot K_5 \quad (11)$$

又(7)式を変形すると次の(12)式が得られる。

$$\begin{aligned} \frac{d}{L_1} &= \frac{(3H)^{1/2} \cdot d}{4kK(d - HK_1)^{3/2} \cdot \left\{ 1 + K_3 \frac{H}{d - HK_1} \right\}} \\ &= \frac{\sqrt{3}}{4kK \left(\frac{H}{d} \right) \left(\frac{d}{H} - K_1 \right)^{3/2} \cdot \left\{ 1 + K_3 \frac{H/d}{1 - K_1(H/d)} \right\}} \end{aligned} \quad (12)$$

(11)式に k と (H/d) を与えると、 K_1, K_5 が決まり c_1/\sqrt{gd} が求まる。また(12)式に k と (H/d) を与えると (d/L_1) が決まり $(c_1/\sqrt{gd}) \cdot (H/d) \cdot (d/L_1)$ の関係が求まる。この計算結果を Fig. 2 に示す。

第2次近似理論による波速は(10)式で示されている。この(10)式を変形すると次の(13)式が得られる。また(8)式を変形すると(14)式が得られる。

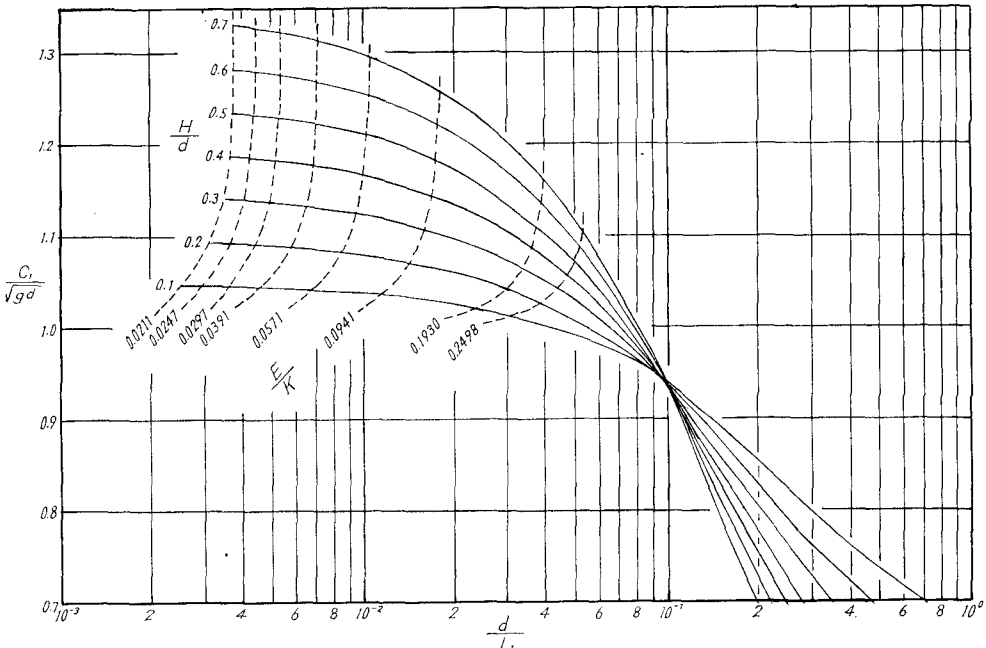


Fig. 2. Wave Velocity of 1st order Cnoidal Wave

$$\frac{c_2}{\sqrt{gd}} = \sqrt{1 - K_1 \frac{H}{d}} + \frac{H/d}{\sqrt{1 - K_1 \frac{H}{d}}} \cdot K_5 + \left(\frac{H}{d}\right)^2 \left[\frac{1}{2} \left\{ \left(1 - K_1 \frac{H}{d}\right) + \sqrt{\left(1 - K_1 \frac{H}{d}\right)^2 - 4 \left(\frac{H}{d}\right)^2 K_2} \right\} \right]^{-\frac{3}{2}} \cdot K_6 \quad (13)$$

$$\frac{d}{L_2} = \frac{\sqrt{3}}{4kK} \cdot \sqrt{\frac{H}{d}} \cdot \left[\frac{1}{2} \left\{ \left(1 - K_1 \frac{H}{d}\right) + \sqrt{\left(1 - K_1 \frac{H}{d}\right)^2 - 4 \left(\frac{H}{d}\right)^2 K_2} \right\} \right]^{3/2} \\ \times \left[1 - K_4 \cdot \frac{2 \cdot H/d}{\left\{ \left(1 - K_1 \frac{H}{d}\right) + \sqrt{\left(1 - K_1 \frac{H}{d}\right)^2 - 4 \left(\frac{H}{d}\right)^2 K_2} \right\}} \right] \quad (14)$$

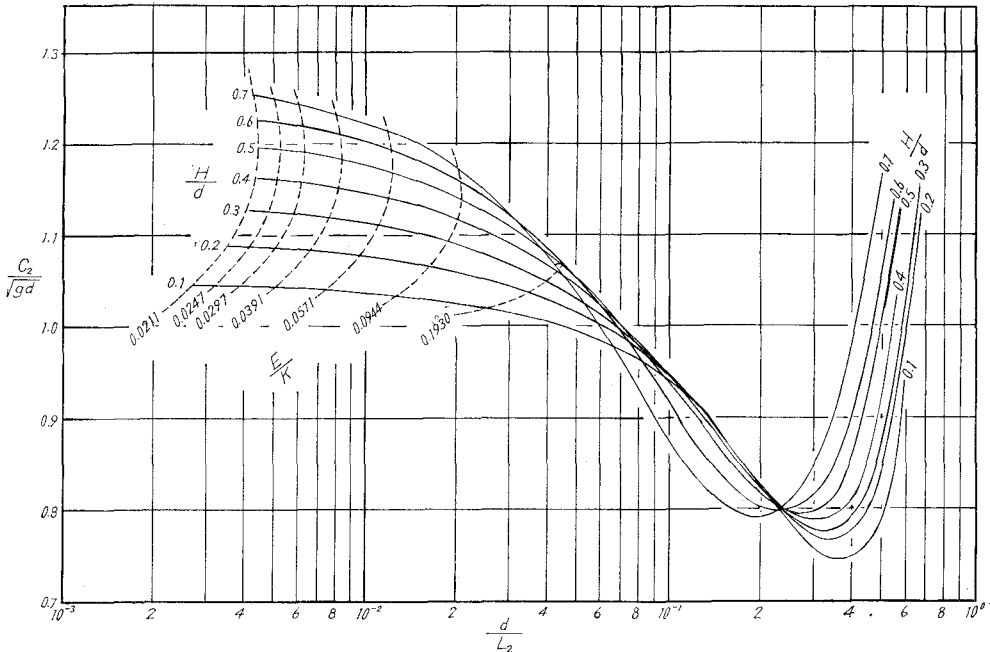


Fig. 3. Wave Velocity of 2nd order Cnoidal Wave

第1近似の場合と同様に k と (H/d) とを与えると、 $(c_2/\sqrt{gd}) \cdot (H/d) \cdot (d/L_2)$ との関係が求められる。この計算結果は Fig. 3 に示すとおりである。第1次近似解では、 $(d/L_2) = 0.1$ で (H/d) の値に関係なく $(c_1/\sqrt{gd}) = 0.94$ に収束している。 $(d/L) < 0.1$ では (H/d) が大きいものほど (c_1/\sqrt{gd}) の値が大きくなり $(d/L) > 0.1$ では、 (H/d) が小さいものほど (c_1/\sqrt{gd}) の値が大きくなっている。また、第2次近似理論では、第1次近似理論の場合と傾向が、かなり異なっている。第1次近似理論では、 $d/L=0.1$ で波速の値が逆転しているが、第2次近似理論では、 $d/L=0.045, 0.25$ でそれぞれ逆転している。ストークス波理論ならびに孤立波理論では、 (d/L) に関係なく、 (H/d) が、大きくなるにつれて (c/\sqrt{gd}) が大きくなっている。本来、クノイド波理論というものは、ストークス波の理論より浅い領域に適用されるべく作られた理論であり、又そのクノイド波の極限が孤立波であることを考えると、当然クノイド波の波速 (c/\sqrt{gd}) は (H/d) が大きくなるにつれて、大きくなるのではないか

と考えられる。この事を考えるならば、波速の値が逆転する事は、不合理のようである。以上の事から、クノイド波の適用限界を決めると、第1次近似理論では $d/L < 0.1$ 、第2次近似理論では、 $d/L < 0.045$ となる。

§ 4. 波速の計算結果と実験値との比較

(1) 実験装置並びに実験方法

本研究で行なわれた実験は、長さ 15.0 m 幅 0.8 m の両面ガラス張り鋼製水路で行なわれた。実験された水深は、10.5 cm, 13.5 cm, 16.5 cm, 21.5 cm, 26.5 cm, 46.5 cm, の 6 種類であり、周期は 0.6~1.8 秒であった。また波高は、1.6~14.8 cm の範囲であった。波高、波長等の測定には全て 16 mm カメラと 35 mm カメラを用いた。本実験では、 (d/L) を広範囲にする必要があったため、水深をかなり浅くした。このため、底面の摩擦の影響がかなりあると思われるが、水路長が短かいためにとられた、やむを得ない措置であった。底面はビニール塗料で塗装してある。また、

反射波の影響を消波構造物など施して、出来るだけ除くようにした。得られたデーターの数は、約420個であった。

(2) 波速の実験結果

(c/\sqrt{gd}) と (d/L) との関係をプロットしたものが Fig. 4 である。実験値は、 $0.08 < H/d < 0.61$ の範囲である。この Fig. 4 からも明らかなように、相対的にみて、ストークス波の波速の実験値から判断した適用限界は、 d/L が略々、0.25 以上のようなようである。 $d/L < 0.25$ になると、 c/\sqrt{gd} はストークス波理論から求まる値より小さくなり、クノイド波理論の値に近づくようである。なお Fig. 4 に示されてい

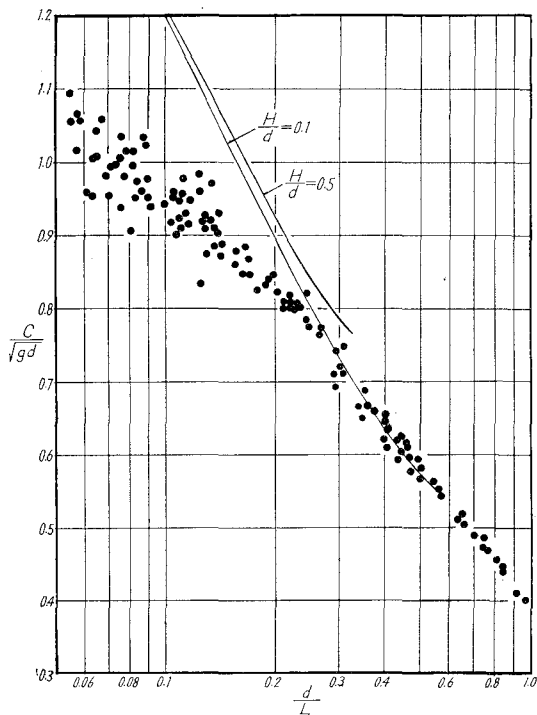


Fig. 4.

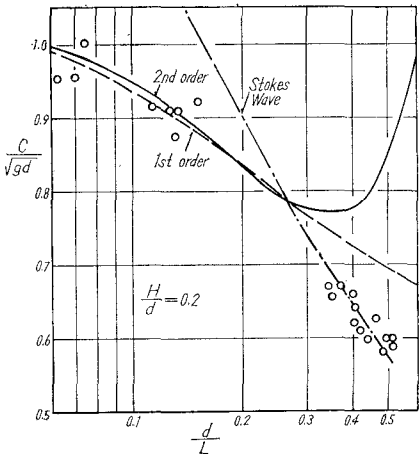


Fig. 5. (a)

る曲線は、Skjelbreia のストークス波第3次近似理論より求めた値である。個々の (H/d) に対する (c/\sqrt{gd}) と (d/L) の関係を示したもののが Fig. 5 の (a), (b), (c), (d), であ

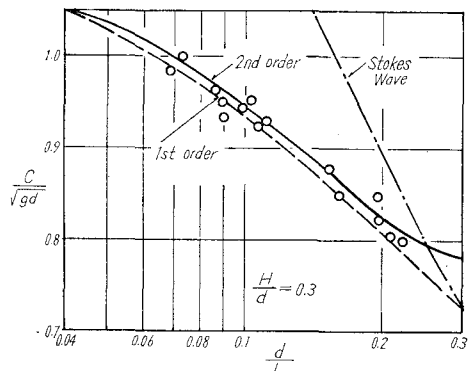


Fig. 5. (b)

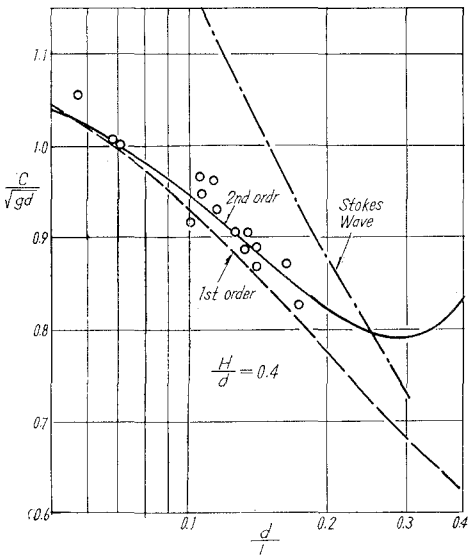


Fig. 5. (c)

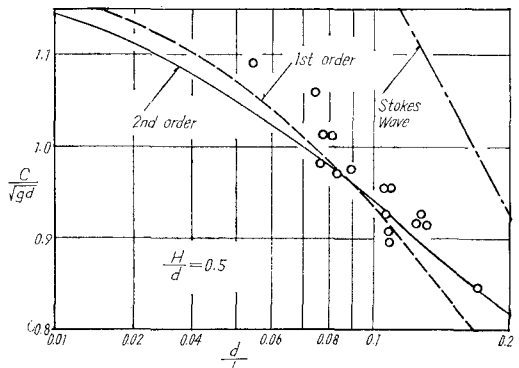


Fig. 5. (d)

り、それぞれ、 (H/d) が 0.2, 0.3, 0.4, 0.5 である。 $(d/L) < 0.16$ では、ストークス波理論によく適合し、 $(d/L) < 0.16$ では、クノイド波理論によく一致している。 (d/L) が小さくなると、実験値のばらつきが目立つが、これは波形勾配がゆるくなるため、波長の読みに誤差が生じやすい事と、波高が小さいためと思われる。 $(H/d)=0.3$ の時は、 $(d/L)<0.25$ の範囲では、実験値は、クノイド波理論にかなりよく一致している。 $(H/d)=0.4$ の時は、 $(d/L)<0.2$ でよくクノイド波理論と一致している。 $(H/d)=0.5$ の時は $(d/L)<0.17$ でクノイド波理論に近い値を示している。

以上の波速の実験結果から判断して、 $(d/L)<0.2$ でクノイド波理論の波速と一致しているようであり、ストークス波理論の方は $(d/L)>0.3$ でよく一致しているようである。またクノイド波理論の第1と第2次近似理論の計算値を比

$$\frac{\eta_2}{H} = \frac{H-\delta_2}{H} = 1 - \frac{1}{2} \left\{ \left(K_1 + \frac{d}{H} \right) - \sqrt{\left(K_1 + \frac{d}{H} \right)^2 - 4 \left(\frac{d}{H} \cdot K_1 + K_2 \right)} \right\} \quad (16)$$

$$\frac{L_1}{L_0} = \frac{2\pi c_1^2}{g L_1} = 2\pi \cdot \frac{d}{L_1} \left\{ \sqrt{1-K_1} \frac{H}{d} + \frac{(H/d) \cdot K_5}{\sqrt{1-K_1(H/d)}} \right\} \quad (17)$$

$$\frac{d}{L_0} = \frac{d}{L_1} \times \frac{L_1}{L_0}, \quad \frac{H}{L_0} = \frac{H}{L_1} \times \frac{L_1}{L_0} \quad (18)$$

$$\begin{aligned} \frac{L_2}{L_0} = \frac{2\pi c_2^2}{g L_2} = 2\pi \cdot \frac{d}{L_2} \cdot & \left[\sqrt{1-K_1} \frac{H}{d} + \frac{H/d}{\sqrt{1-K_1}} K_5 \right. \\ & \left. + \frac{(H/d)^2 \cdot K_6}{\left[\frac{1}{2} \left\{ 1-K_1 \frac{H}{d} + \sqrt{\left(1-K_1 \frac{H}{d} \right)^2 - 4 \left(\frac{H}{d} \right)^2 K_2} \right\} \right]^{3/2}} \right] \end{aligned} \quad (19)$$

$$\frac{d}{L_0} = \frac{d}{L_2} \cdot \frac{L_2}{L_0}, \quad \frac{H}{L_0} = \frac{H}{L_2} \cdot \frac{L_2}{L_0} \quad (20)$$

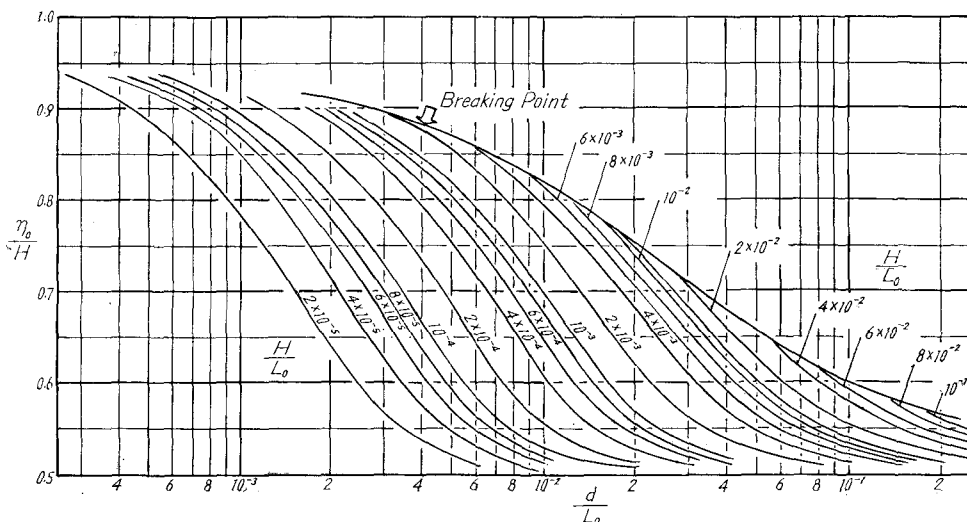


Fig. 6. Ratio of Crest Elevation above Still Water to Wave Height
(1st order Cnoidal Wave)

較すると、 $(H/d)=0.2$ で $d/L<0.27$, $(H/d)=0.3$ で $d/L<0.2$, $(H/d)=0.4$ で $d/L<0.18$, $(H/d)=0.5$ で $d/L<0.1$ でよく、第1次、第2次近似理論が一致しているようである。が、また (d/L) が小さくなると離れ、また (H/d) が大きくなるにつれて離れてくるが、これはクノイド波理論の極限である、孤立波の第1、第2次近似理論の波速を考えると明らかな事である。

なお、実験装置の関係で $d/L>0.05$ の範囲しか実験ができなかったので、この節では一応、 d/L のみで適用範囲を表わしたが、波高 H も適用限界にかなり影響を及ぼすように思われる。

§5. クノイド波の波頂高について

$$\frac{\eta_1}{H} = \frac{H-\delta_1}{H} = 1 - K_1 \quad (15)$$

$$\frac{L_1}{L_0} = \frac{2\pi c_1^2}{g L_1} = 2\pi \cdot \frac{d}{L_1} \left\{ \sqrt{1-K_1} \frac{H}{d} + \frac{(H/d) \cdot K_5}{\sqrt{1-K_1(H/d)}} \right\} \quad (17)$$

$$\frac{d}{L_0} = \frac{d}{L_1} \times \frac{L_1}{L_0}, \quad \frac{H}{L_0} = \frac{H}{L_1} \times \frac{L_1}{L_0} \quad (18)$$

$$\begin{aligned} \frac{L_2}{L_0} = \frac{2\pi c_2^2}{g L_2} = 2\pi \cdot \frac{d}{L_2} \cdot & \left[\sqrt{1-K_1} \frac{H}{d} + \frac{H/d}{\sqrt{1-K_1}} K_5 \right. \\ & \left. + \frac{(H/d)^2 \cdot K_6}{\left[\frac{1}{2} \left\{ 1-K_1 \frac{H}{d} + \sqrt{\left(1-K_1 \frac{H}{d} \right)^2 - 4 \left(\frac{H}{d} \right)^2 K_2} \right\} \right]^{3/2}} \right] \end{aligned} \quad (19)$$

$$\frac{d}{L_0} = \frac{d}{L_2} \cdot \frac{L_2}{L_0}, \quad \frac{H}{L_0} = \frac{H}{L_2} \cdot \frac{L_2}{L_0} \quad (20)$$

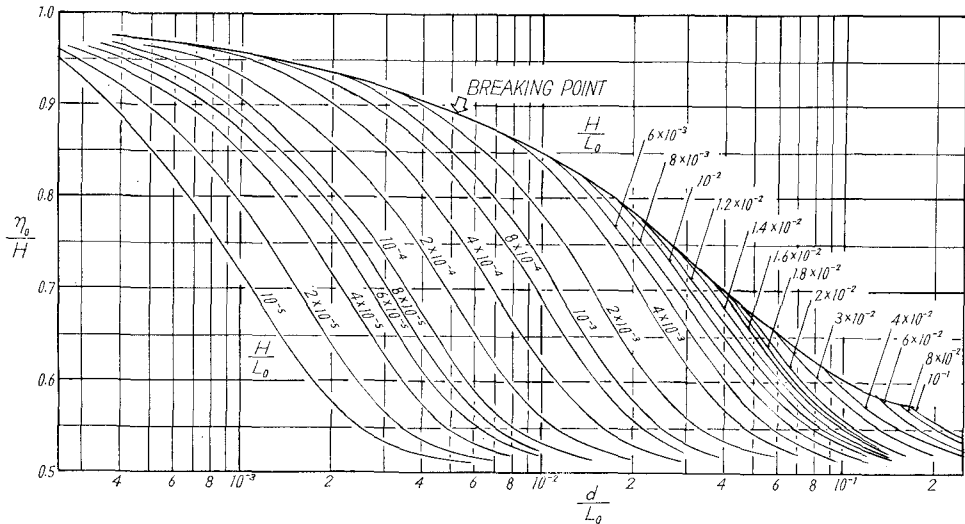


Fig. 7. Ratio of Crest Elevation above Still Water to Wave Height
(2nd order Cnoidal Wave)

計算手順は k を与えて $K_1, K_2, K_3, K_4, K_5, K_6$ を求め、さらに H/d を与えて (15), (16) 式と (12), (14) 式により η_1/H , η_2/H , d/L_1 , d/L_2 , を計算する。 d/L_1 , d/L_2 , と H/d , K_1, K_2, K_5, K_6 より (17), (18) 式より $L_1/L_0, L_2/L_0$ を計算する。さきに与えた H/d と、求められた $d/L_1, d/L_2$ より $H/L_1, H/L_2$ を求め、最後に (18), (20) 式より、 $d/L_0, H/L_0$ を計算する。以上の計算手順により $\eta_1/H, \eta_2/H$ と、 H/L_0 と d/L_0 の関係が求まる。第1次近似理論の計算値を Fig. 6, 第2次近似理論の計算値を Fig. 7 に示す。

$H/L_0 \leq 2 \times 10^{-4}$ では第1次近似、第2次近似とも全く一致しているが、 $4 \times 10^{-4} \leq H/L_0$ では d/L_0 が大きいときは、第1次近似の η_0/H の方が大きく、 d/L_0 が小さいときは、第1次近似の η_0/H の方が大きくでているが、値はそれほど異ならない。ここで碎波点を示してあるが、これはクノイド波の碎波限界である。即ちこれは、 $H/d=0.73$ より求まる点である。これをみると碎波限界は、 $d/L \geq 0.15$ では、第1次、第2次もほぼ一致しているが、 $d/L < 0.15$ では、第2次近似理論の碎波点の方が大きくでている。なお、Bretschneider が実測等により、求めた波頂高の図と比較すると曲線の傾向は、かなり違っている。

§ 6. 波頂高の計算値と実験値との比較

ここでは H/L_0 、即ち $2\pi H/g T^2$ が 0.1, 0.08, 0.06, 0.04, 0.02, 0.01, 0.008, 0.006 の 8 つの場合について計算値と実験値を比較する。これを Fig. 8 の (a), (b), (c), (d), (e), (f), (g), (h) に示す。前節の波速のところでも述べたように、 H/L_0 が小さくなると、実験装置との関係、また測定精度等による、実験値がかなりばらつくが、これはやもう得なかった。おな図中の曲線は、一点鎖線は、Bretschneider

の曲線、破線は Skjelbreia のストークス波第3近似理論の曲線、実線は、クノイド波の第2次近似理論の曲線である。

まず Fig. 8 (a) は、 $H/L_0=0.10$ の時であるが、これは、ストークス波理論によく合っている。クノイド波理論値は η_0/H は小さい値を示している。また Bretschneider の値は、少し大きめである。(b) 図は、 $H/L_0=0.08$ の時であるが、 $d/L_0 > 0.2$ の範囲では、ストークス波理論に、より適合しているが、クノイド波理論の値は、実測値に較べて小さい。(c) 図は、 $H/L_0=0.06$ であるが、ストークス波理論、特に第5次近似理論によく適合しているが、第3次近似理論値よく大きくでている。(d) 図は、 $H/L_0=0.04$ の時である。 $d/L_0 > 0.15$ の範囲では、ほぼ Bretschneider の曲線に適合しているが、 $d/L_0 < 0.15$ では、第3次近似理論は実験値より小さくでている。 d/L_0 が小さくなるにつれて、クノイド波理論の値に近づいていく傾向が見られる。(e) 図は、 $H/L_0=0.02$ の時である。ここでは、実測値は明らかに、クノイド波の第2次近似理論に一致している。(f) 図は、 $H/L_0=0.01$ の場合である。実測値は、ストークス波理論よりクノイド波理論に近いが、Bretschneider の曲線に、より近い。(g) 図は、 $H/L_0=0.008$ であるが、(f) 図と同じ傾向で、実測値は、クノイド波理論より小さい値を示している。(h) 図は、 $H/L_0=0.006$ の時で、実測値は、クノイド波理論より小さくでている。

実験値から判断すると、クノイド波理論は、 H/L_0 が 0.02 付近で理論が、実測値とよく一致している。しかし、この波頂高の実験から、クノイド波理論の適用を決定することは困難である。これは、前述したように、実験水路の長さが短かいため、水深、波高等が制限され、又反射波の影

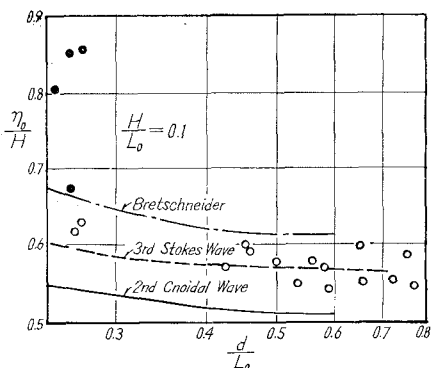


Fig. 8. (a)

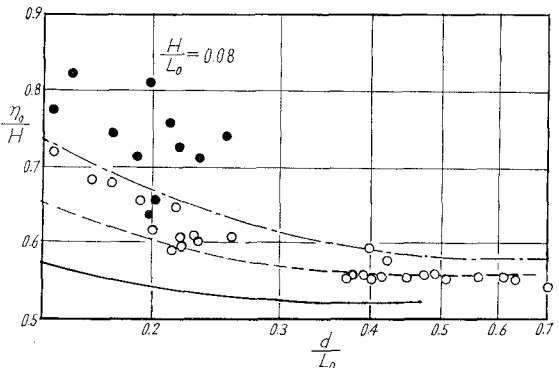


Fig. 8. (b)

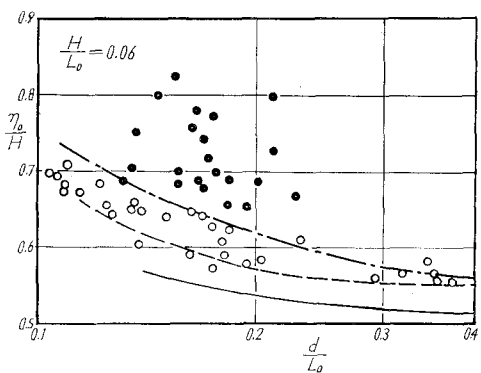


Fig. 8. (c)

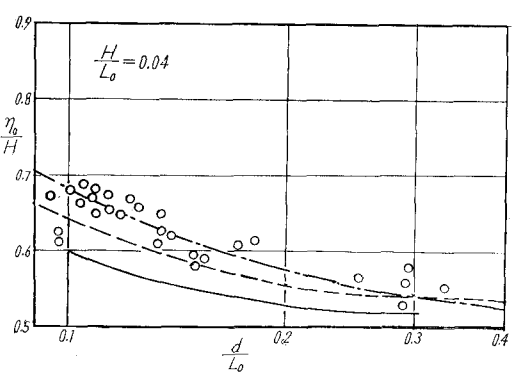


Fig. 8. (d)

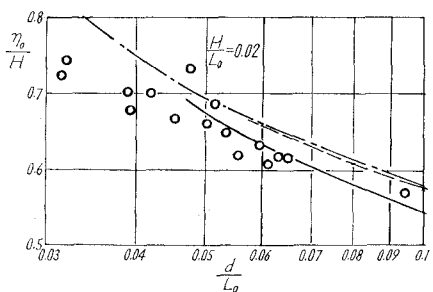


Fig. 8. (e)

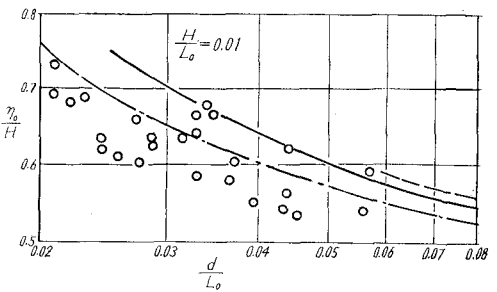


Fig. 8. (f)

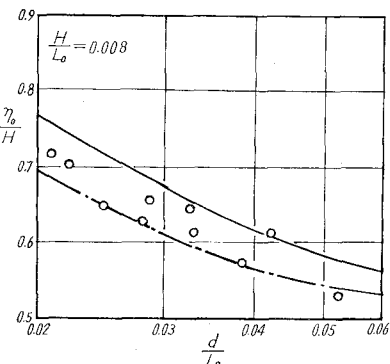


Fig. 8. (g)

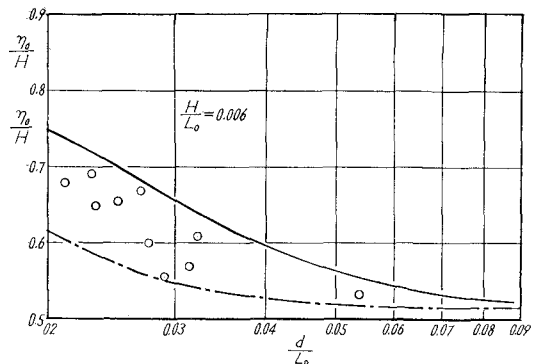


Fig. 8. (h)

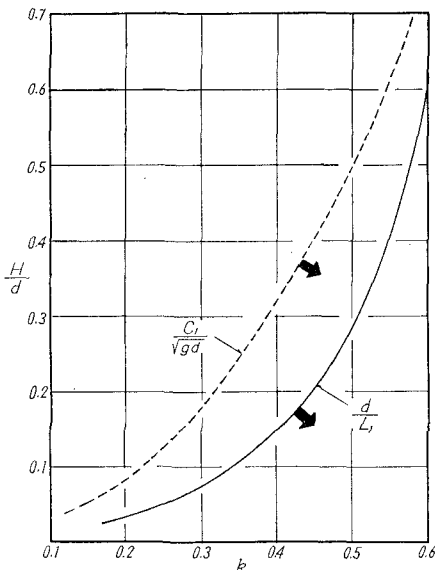


Fig. 9.

響も除くことが出来ないためであろう。

§7. 結 論

(1) クノイド波理論の波速からは、理論の適用限界は、第1次近似理論では、 $d/L < 0.1$ 、第2次近似理論では、 $d/L < 0.045$ となる。

(2) 第1次、第2次近似クノイド波理論の波速は d/L が小さくなるにつれて、第1次、第2次理論は、よく一致してくる。また d/L が大きくなると傾向は、かなり異なってくる。

(3) 波速の理論値と実験値とを比較すると、適用限界はFig. 4 からもわかるように、相対的に d/L が0.2よりも小さいことは明らかなのであるが、詳細に調べると $H/d=0.2$ の時 $d/L<0.16$ 、 $H/d=0.3$ のとき $d/L<0.25$ 、 $H/d=0.4$ のとき、 $d/L<0.2$ 、 $H/d=0.5$ のとき $d/L<0.17$ である。しかし実測値が不備なために、明確な限界値は決定できなかった。

(4) 第1次、第2次近似理論の波頂高は $H/L_0 < 2 \times 10^{-4}$ では、よく一致している。 $4 \times 10^{-4} < H/L_0$ では、両者は、多少異なるが、その違いは、きわめて少ない。

(5) 砕波限界の波頂高は $d/L_0 < 0.15$ では、第2次近似理論の方が大きくなっている。

(6) 波頂高の実験値と理論値とを比較すると、 $H/L_0 = 0.02$ 付近で両者よく一致している。しかし $H/L_0 < 0.02$ では、実測値より理論値の方が大きく、 $H/L_0 > 0.02$ では、その逆である。

(7) 岩垣は、クノイド波の適用限界を $d/L < 0.05$ としているが、確定した値では、ないように思われる。

(8) 本文では述べなかったが、第1次近似理論の波速、

及び波長が負になる $k, E/K, K$ の関係を求められ、その使用出来る範囲を示すと次のようになる。

(i) 波 速

$$E/K \leq \frac{1}{2} \text{ の時 } \frac{d}{H} \geq \frac{1}{k^2} \left(\frac{E}{K} + k^2 - 1 \right)$$

$$E/K > \frac{1}{2} \text{ の時 } \frac{d}{H} \geq \frac{1}{k^2} \left(2 \frac{E}{K} + k^2 - \frac{3}{2} \right)$$

(ii) 波 長

$$k^2 \geq \frac{1}{2} \text{ の時 } \frac{d}{H} \geq \frac{1}{k^2} \left(\frac{E}{K} + k^2 - 1 \right)$$

$$k^2 < \frac{1}{2} \text{ の時 } \frac{d}{H} \geq \frac{1}{k^2} \left(\frac{E}{K} - 2k^2 - \frac{1}{2} \right)$$

なお以上の適用範囲を図示したものが Fig. 9 である。図中で実験は波長より、破線は波速より求める範囲であり、それぞれの k に対して曲線の下が正の領域である。

参 考 文 献

- 岩垣雄一： クノイド波に関する研究（第1報）. 京大防災研究所年報7号, 1964.
- 岩垣雄一： クノイド波に関する研究（第2報）. 京大防災研究所年報8号, 1965.
- 岩垣雄一・細見昌彦： クノイド波に関する研究（第3報）. 京大防災研究所年報9号, 1966.
- 岩垣雄一・山口正隆： Stokes 波とクノイド波の適用限界について. 第14回海岸工学講演会講演集, 1967.
- 岩垣雄一・細見昌彦： クノイド波に関する二、三の実験. 第13回海岸工学講演会講演集, 1966.
- 岸 力・佐伯 浩： クノイド波に関する研究. 第11回海岸工学講演会講演集, 1964.
- 岸 力・石田昌寿・佐伯 浩： 有限振幅波の性質について. 土木学会北海道支部技術資料第21号, 1965.
- 佐伯 浩・新井泰澄・花安繁郎： 有限振幅波の波頂高に関する研究. 第23回土木学会年次講演会, 1968.
- Laitone, E. V.: The Second Approximation to Cnoidal and Solitary Waves: Jour of Fluid Mechanics Vol. 9, 1961.
- Bretschneider, C. L. (1958): Selection of design wave for offshore structure: Proc. ASCE V 84 (WW) 2.
- Masch, D. F. and Wiegel, R. L. (1961): Cnoidal waves-Table of Functions: Council on Wave Research, The Engineering Foundation, Univ. of Calif.
- Skjelbreia, L. and Hendrickson, J. A. (1960): Fifth order gravity Wave theory: Proc. 7 th Conf. on Coastal Engineering Vol. 1.
- Laitone, E. V.: Limiting Conditions for Cnoidal and Stokes Waves: Jour of Geophysical Research Vol. 67, No. 4, 1962.
- Wilson, B. W., L. M. Webb and J. A. Hendrickson: The Nature of Tsunami NESCO Tech. Rept. No. SN57-2 (1962).
- 林 桂一・森口繁一： 改訂「高等函数表」.